

В.С. СИЗИКОВ, А.В. СМИРНОВ, Б.А. ФЕДОРОВ

## ЧИСЛЕННОЕ РЕШЕНИЕ СИНГУЛЯРНОГО ИНТЕГРАЛЬНОГО УРАВНЕНИЯ АБЕЛЯ ОБОБЩЕННЫМ МЕТОДОМ КВАДРАТУР

### 1. Введение

Вопросу численного решения сингулярных интегральных уравнений (СИУ) посвящено большое число публикаций ([1]–[6] и др.). Исследованы следующие СИУ:

а) одномерные СИУ I-го рода с ядром Коши [2], [3], [7], например, ([2], сс. 8, 73),

$$\int_a^b \frac{y(s) ds}{x-s} = f(x), \quad a \leq x \leq b, \quad (1)$$

где  $y(s)$  — искомая функция;

б) СИУ I-го рода с ядром Гильберта [2], [3] или с обобщенным ядром Гильберта [3];

в) СИУ II-го рода с ядрами Коши или Гильберта [1], [4], [7], например, [4],

$$A(x)y(x) + \frac{B(x)}{2\pi} \int_0^{2\pi} \operatorname{ctg} \frac{x-s}{2} y(s) ds + \frac{1}{2\pi} \int_0^{2\pi} h(x,s)y(s) ds = f(x), \quad 0 \leq x < 2\pi, \quad (2)$$

где  $A(x)$ ,  $B(x)$  — известные непрерывные функции, а  $h(x,s)$  — известная  $2\pi$ -периодическая функция; если  $A(x) = 0$  при некоторых, но не всех значениях  $x$ , то уравнение (2) будет уравнением III-го рода (ср. [8], с. 140);

г) СИУ I-го или II-го рода с логарифмическими и другими (слабо сингулярными) ядрами, например, ([3], с. 6),

$$-\frac{1}{2\pi} \int_0^{2\pi} \ln \left| \sin \frac{x-s}{2} \right| y(s) ds + \frac{1}{2\pi} \int_0^{2\pi} h(x,s) y(s) ds = f(x), \quad 0 \leq x < 2\pi. \quad (3)$$

При этом сингулярные интегралы понимаются либо как несобственные, либо в смысле главного значения по Коши–Лебегу.

Рассмотрены также двумерные СИУ [1], [4], нелинейные СИУ [6] и др.

Что касается численных методов решения СИУ, то при их построении использованы следующие основные алгоритмы.

**Алгоритм 1** (сдвиг сеток узлов). В работах ([2], с. 8; [3], с. 27; [4]) вводятся дискретные сетки узлов по переменным  $s$  и  $x$ , например, для уравнения (1):  $s_j = a + jh$ ,  $x_i = s_i + \Delta$ ,  $j, i = 0, 1, \dots, n$ ,  $s_n = b$ , где  $h = (b-a)/n$  — шаг дискретизации,  $\Delta$  — сдвиг между сетками, полагаемый равным  $\Delta = h/2$  ([2], с. 8) или  $\Delta \in [0, h/2]$  ([3], с. 27) или  $\Delta \in (0, h/2)$  [4]. Введение сдвига  $\Delta$  позволяет устранить особенности при использовании численных методов, например, метода квадратур.

---

Работа выполнена при финансовой поддержке Министерства образования Российской Федерации, проект № Е00-3.2-387.

**Алгоритм 2** (метод квадратур). В работе ([2], с. 8) при построении метода дискретных вихрей (одного из вариантов метода квадратур) интеграл в (1) расписывается по формуле левых прямоугольников, причем полагается, что на каждом промежутке  $[s_j, s_{j+1})$  вся подинтегральная функция  $\frac{y(s)}{x-s} = \text{const} = \frac{y(s_j)}{x-s_j}$  при некотором фиксированном  $x = x_i$ . В результате при использовании дискретных сеток по  $s$  и  $x$  и сдвига  $\Delta$  между ними получается система линейных алгебраических уравнений (СЛАУ) относительно значений  $y_j \equiv y(s_j)$ , матрица которой имеет преобладающую диагональ. В работе [4] при решении уравнения (2) интеграл  $\int_0^{2\pi} h(x, s) y(s) ds$  также расписывается по формуле левых прямоугольников и полагается  $h(x, s) y(s) = \text{const} = h(x, s_j) y(s_j)$  при  $s \in [s_j, s_{j+1})$ , интеграл же  $\int_0^{2\pi} \text{ctg} \frac{x-s}{2} y(s) ds$  расписывается по обобщенной формуле левых прямоугольников (ср. [9], с. 57), согласно которой лишь  $y(s) = \text{const} = y(s_j)$  при  $s \in [s_j, s_{j+1})$ , а интеграл  $\int_{s_j}^{s_{j+1}} \text{ctg} \frac{x-s}{2} ds$  вычисляется аналитически. При этом, чтобы он не обращался в бесконечность ни при какой комбинации  $i$  и  $j$ , использован сдвиг сеток  $\Delta \in (0, h/2)$ .

**Алгоритм 3** (аппроксимация решения). В работе ([3], сс. 15, 27), а также ([1], сс. 149, 159) искомое решение  $y(s)$  аппроксимируется алгебраическим или тригонометрическим многочленом  $y_m(s)$  порядка  $m$  или полиномиальным сплайном. При этом, например, в (3) интеграл  $\int_0^{2\pi} h(x, s) y_m(s) ds$  заменяется конечной суммой по формуле левых прямоугольников, а интеграл  $\int_0^{2\pi} \ln |\sin \frac{x-s}{2}| y_m(s) ds$  вычисляется аналитически. В результате коэффициенты аппроксимирующего многочлена  $y_m(s)$  определяются из условия минимума невязки, что приводит к тому или иному проекционному методу (методу квадратур, наименьших квадратов, Галёркина, коллокации, сплайнов и т. д.) и к решению соответствующей СЛАУ.

Во всех перечисленных методах имеет место *саморегуляризация*, причем роль параметра регуляризации играет  $\Delta$ . При этом чем больше  $\Delta \in (0, h/2]$ , тем устойчивее решение  $y$ , но меньше разрешающая способность численного метода, и чем меньше  $\Delta$ , тем менее устойчиво решение, но выше разрешение.

В данной работе предлагается иной вариант численного решения некоторых СИУ. А именно, сетки узлов по  $x$  и по  $s$  полагаются совпадающими (т. е.  $\Delta = 0$ ), а особенности устраняются за счет использования обобщенной квадратурной формулы (ср. [9], с. 57). Такая методика может быть применена не для всех СИУ. Она не применима для СИУ с ядрами Коши или Гильберта, но применима для некоторых СИУ с логарифмическими и другими (слабо сингулярными) ядрами ([3], сс. 6, 232). В данной работе рассматриваются лишь СИУ I-го рода с ядром вида  $K(x, s) = s/\sqrt{s^2 - x^2}$  и с переменным нижним пределом (уравнение Абеля) и метод квадратур (обобщенный метод квадратур) его решения.

## 2. Метод численного решения СИУ на основе обобщенной квадратурной формулы

Рассмотрим сингулярное интегральное уравнение Абеля (уравнение I-го рода с переменным нижним пределом) в форме<sup>1</sup>

$$\int_x^R \frac{s}{\sqrt{s^2 - x^2}} y(s) ds = f(x), \quad 0 \leq x \leq R, \quad (4)$$

<sup>1</sup>Уравнение Абеля находит широкое применение в прикладных задачах диагностики плазмы, астрофизики, оптической и рентгеновской дифракции и т. д. ([8], с. 109; [10], с. 97–98). В астрофизике оно часто называется уравнением Цейпеля ([8], с. 109).

где  $y(s)$  – искомая функция и, в частности,  $R = \infty$ . Заметим, что в традиционной форме уравнение Абеля записывается как ([8], с. 107; [11], с. 19)

$$\int_0^x \frac{y(s)}{\sqrt{x-s}} ds = 2f(x), \quad x > 0, \quad (5)$$

причем между (4) и (5) имеет место взаимно однозначное соответствие.

Уравнение (4) является сингулярным уравнением со слабой особенностью. Данное уравнение имеет аналитическое решение ([10], с. 98)

$$y(s) = -\frac{2}{\pi} \int_s^R \frac{f'(x)}{\sqrt{x^2-s^2}} dx, \quad 0 \leq s \leq R. \quad (6)$$

Однако решение (6) содержит производную  $f'(x)$  от обычно экспериментальной, а значит, зашумленной функции  $f(x)$ , а задача численного дифференцирования зашумленной функции является некорректной ([12], с. 18–19). Кроме того, интеграл в правой части (6) является несобственным. Поэтому задача вычисления решения (6) не является тривиальной. В данной работе предлагаются два численных метода получения решения уравнения Абеля.

**1-й метод** (метод квадратур численного решения уравнения (4) на основе обобщенной формулы левых прямоугольников — обобщенный метод квадратур). Введем равномерные совпадающие сетки узлов по  $x$  и  $s$

$$x_i = ih, \quad s_j = x_j = jh, \quad i, j = 0, 1, \dots, n, \quad x_n = s_n = R, \quad (7)$$

где  $h = \Delta x = \Delta s = R/n = \text{const}$  — шаг дискретизации ( $R$  считаем конечным). На некотором промежутке  $[s_j, s_{j+1})$ ,  $j \in [0, n-1]$ , полагаем

$$y(s) = y(s_j) = \text{const}. \quad (8)$$

Легко проверяется

**Лемма 1.** При условии (8) имеет место равенство

$$\int_{s_j}^{s_{j+1}} \frac{s}{\sqrt{s^2-x^2}} y(s) ds = (\sqrt{s_{j+1}^2-x^2} - \sqrt{s_j^2-x^2}) y_j, \quad j \in [0, n-1], \quad (9)$$

где  $y_j \equiv y(s_j)$ ,  $x \leq s_j < s_{j+1} \leq R$ .

**Определение 1.** Назовем формулу (9) *обобщенной формулой левых прямоугольников* (ср. [9], сс. 57, 74) для сингулярности  $\frac{s}{\sqrt{s^2-x^2}}$ , а множители  $(\sqrt{s_{j+1}^2-x^2} - \sqrt{s_j^2-x^2})$  — *квадратурными коэффициентами* этой формулы.

**Теорема 1.** Численное решение уравнения (4) по 1-му методу выражается следующими рекуррентными формулами:

$$y_n = y_{n-1} = \frac{f_{n-1}}{p_{n-1, n-1}} = \frac{f_{n-1}}{\sqrt{R^2 - (R-h)^2}}, \quad (10)$$

$$y_i = \frac{f_i - \sum_{j=i+1}^{n-1} p_{ij} y_j}{p_{ii}}, \quad i = n-2, n-3, \dots, 0,$$

где  $f_i \equiv f(x_i)$ , а

$$p_{ij} = \sqrt{s_{j+1}^2 - x_i^2} - \sqrt{s_j^2 - x_i^2}. \quad (11)$$

**Доказательство.** Интеграл в левой части (4) равен сумме интегралов (9) по отдельным промежуткам  $[s_j, s_{j+1})$ :

$$\int_{x_i}^R \frac{s}{\sqrt{s^2 - x_i^2}} y(s) ds = \sum_{j=i}^{n-1} (\sqrt{s_{j+1}^2 - x_i^2} - \sqrt{s_j^2 - x_i^2}) y_j = f_i, \quad i = 0, 1, \dots, n-1. \quad (12)$$

Соотношения (12) образуют СЛАУ относительно значений  $y_j$ ,  $j = 0, 1, \dots, n-1$ . Поскольку матрица данной СЛАУ является верхней треугольной, то ее решение можно найти рекуррентно. Из (12), изменяя  $i$  в направлении убывания, т.е. полагая  $i = n-1, n-2, \dots, 0$ , получим последовательно решения для  $y_{n-1}, y_{n-2}, \dots, y_0$ . Что касается значения  $y_n \equiv y(R)$ , то вводим дополнительное равенство  $y_n = y_{n-1}$ . В результате получим формулы (10), (11).  $\square$

**2-й метод** (метод вычисления интеграла в выражении (6) по квадратурной формуле, учитывая его сингулярность). Как и в 1-м методе, вводим сетки узлов (7). Далее полагаем, что на промежутке  $[x_i, x_{i+1})$ ,  $i \in [0, n-1]$ , функция

$$f'(x) = f'(x_i) = \text{const}. \quad (13)$$

Тогда справедлива

**Лемма 2.** При условии (13) имеет место равенство

$$\int_{x_i}^{x_{i+1}} \frac{f'(x)}{\sqrt{x^2 - s^2}} dx = \ln \frac{x_{i+1} + \sqrt{x_{i+1}^2 - s^2}}{x_i + \sqrt{x_i^2 - s^2}} f'_i, \quad i \in [0, n-1], \quad (14)$$

где  $f'_i \equiv f'(x_i)$ ,  $s \leq x_i < x_{i+1} \leq R$ .

**Определение 2.** Назовем формулу (14) *обобщенной формулой левых прямоугольников* для сингулярности  $\frac{1}{\sqrt{x^2 - s^2}}$ , а множители  $\ln \frac{x_{i+1} + \sqrt{x_{i+1}^2 - s^2}}{x_i + \sqrt{x_i^2 - s^2}}$  — *квадратурными коэффициентами* этой формулы.

**Теорема 2.** Пусть строится численно решение (6), причем интеграл в правой части (6) вычисляется с использованием обобщенной квадратурной формулы левых прямоугольников (14) на сетках узлов (7). В этом случае решение (6) в численном виде по 2-му методу равно

$$\begin{aligned} y_0 &= \frac{f_0 - h \sum_{j=1}^{n-1} y_j}{h}, \\ y_j &= -\frac{2}{\pi} \sum_{i=j}^{n-1} q_{ij} f'_i, \quad j = 1, 2, \dots, n-1, \\ y_n &= y_{n-1}, \end{aligned} \quad (15)$$

где

$$q_{ij} = \ln \frac{x_{i+1} + \sqrt{x_{i+1}^2 - s_j^2}}{x_i + \sqrt{x_i^2 - s_j^2}}.$$

**Доказательство.** Интеграл в правой части (6) равен сумме интегралов (14) по отдельным промежуткам  $[x_i, x_{i+1})$ :

$$\int_{s_j}^R \frac{f'(x)}{\sqrt{x^2 - s_j^2}} dx = \sum_{i=j}^{n-1} \ln \frac{x_{i+1} + \sqrt{x_{i+1}^2 - s_j^2}}{x_i + \sqrt{x_i^2 - s_j^2}} f'_i, \quad j = 1, 2, \dots, n-1.$$

Отсюда получаем выражение (15) для  $y_j$ ,  $j = 1, 2, \dots, n-1$ . Что касается значения  $y_n$ , то вводим дополнительное равенство  $y_n = y_{n-1}$ . Для получения  $y_0$  формула (14) не может быть использована, т.к. дает расходимость при  $x_0 = s_0 = 0$ . Поэтому для вычисления  $y_0$  воспользуемся формулой (10) 1-го метода при  $i = 0$ . В результате получим формулы (15).  $\square$

### 3. Оценки погрешностей 1-го метода

Выведем формулы, дающие оценки погрешностей решения уравнения (4) 1-м методом (ср. [8], сс. 42, 122).

**Лемма 3. Интеграл**

$$\int_{s_j}^{s_{j+1}} \frac{s}{\sqrt{s^2 - x_i^2}} y(s) ds, \quad x_i \leq s_j < s_{j+1} \leq R, \quad j = i, \dots, n-1, \quad i = 0, \dots, n-1, \quad (16)$$

при использовании обобщенной формулы левых прямоугольников (9) и учете квадратурной погрешности может быть записан как

$$\int_{s_j}^{s_{j+1}} \frac{s}{\sqrt{s^2 - x_i^2}} y(s) ds = y_j p_{ij} + \Delta R_{ij}, \quad (17)$$

где  $p_{ij}$  — квадратурный коэффициент согласно (11), а  $\Delta R_{ij}$  — квадратурная погрешность на промежутке  $[s_j, s_{j+1})$ , приближенно равная

$$\Delta R_{ij} = \frac{y'(\zeta_j)}{2} \left[ (s_{j+1} - 2s_j) \sqrt{s_{j+1}^2 - x_i^2} + s_j \sqrt{s_j^2 - x_i^2} + x_i^2 \ln \frac{s_{j+1} + \sqrt{s_{j+1}^2 - x_i^2}}{s_j + \sqrt{s_j^2 - x_i^2}} \right], \quad (18)$$

причем  $\zeta_j \in [s_j, s_{j+1})$ .

**Доказательство.** Для вычисления интеграла (16) представим функцию  $y(s)$  на каждом промежутке интерполяционным полиномом Лагранжа нулевой степени  $\tilde{y}(s) = y_j$ ,  $s \in [s_j, s_{j+1})$ ,  $j \in [0, n-1]$ . Погрешность такой интерполяции равна ([13], с. 504)  $\Delta y_j(s) \equiv y(s) - y_j = y'(\xi)(s - s_j)$ , где  $\xi = \xi_j(s) \in [s_j, s_{j+1})$ . Тогда  $y(s) = y_j + y'(\xi)(s - s_j)$  и получим (17), где

$$\Delta R_{ij} = \int_{s_j}^{s_{j+1}} \frac{s(s - s_j)}{\sqrt{s^2 - x_i^2}} y'(\xi) ds$$

или приближенно

$$\Delta R_{ij} = y'(\zeta_j) \int_{s_j}^{s_{j+1}} \frac{s(s - s_j)}{\sqrt{s^2 - x_i^2}} ds, \quad \zeta_j \in [s_j, s_{j+1}). \quad (19)$$

Интеграл в (19) вычисляется аналитически, в результате получим оценку (18).  $\square$

**Замечание 1.** Производную  $y'(\zeta)$  можно вычислить по приближенной формуле

$$y'(\zeta_j) \equiv y'_j = \begin{cases} \frac{y_{j+1} - y_j}{h}, & j = 0; \\ \frac{y_{j+1} - y_{j-1}}{2h}, & j \in [1, n-1]. \end{cases} \quad (20)$$

**Теорема 3.** Численное решение уравнения (4) на сетках узлов (7) методом квадратур на основе обобщенной формулы левых прямоугольников (9) выражается формулами (10), а погрешности — следующими рекуррентными формулами:

$$\begin{aligned}\Delta y_n &= \Delta y_{n-1} = \frac{\Delta R_{n-1, n-1}}{p_{n-1, n-1}}, \\ \Delta y_i &= \frac{R_i - \sum_{j=i+1}^{n-1} p_{ij} \Delta y_j}{p_{ii}}, \quad i = n-2, n-3, \dots, 0,\end{aligned}\tag{21}$$

где

$$R_i = \sum_{j=i}^{n-1} \Delta R_{ij},\tag{22}$$

причем  $p_{ij}$ ,  $\Delta R_{ij}$  и  $y'(\zeta_j)$  выражаются формулами (11), (18) и (20) соответственно.

**Доказательство.** Запишем интеграл в левой части (4) в виде суммы интегралов по промежуткам

$$\begin{aligned}\int_{x_i}^R \frac{s}{\sqrt{s^2 - x_i^2}} y(s) ds &= \sum_{j=i}^{n-1} \int_{s_j}^{s_{j+1}} \frac{s}{\sqrt{s^2 - x_i^2}} [y_j + \Delta y_j(s)] ds = \\ &= \sum_{j=i}^{n-1} \int_{s_j}^{s_{j+1}} \frac{s}{\sqrt{s^2 - x_i^2}} [y_j + y'(\xi)(s - s_j)] ds, \quad i = 0, 1, \dots, n-1,\end{aligned}$$

откуда

$$\sum_{j=i}^{n-1} \int_{s_j}^{s_{j+1}} \frac{s}{\sqrt{s^2 - x_i^2}} \Delta y_j(s) ds = \sum_{j=i}^{n-1} \int_{s_j}^{s_{j+1}} \frac{s(s - s_j)}{\sqrt{s^2 - x_i^2}} y'(\xi) ds, \quad i = 0, 1, \dots, n-1.\tag{23}$$

Для вычисления интеграла в левой части (23) используем формулу левых прямоугольников, т. е. положим  $\Delta y_j(s) = \Delta y(s_j) \equiv \Delta y_j = \text{const}$ ,  $s \in [s_j, s_{j+1}]$ , и вычислим интеграл аналогично (9). Интеграл в правой части (23) равен  $\Delta R_{ij}$  согласно (19). Тогда

$$\sum_{j=i}^{n-1} p_{ij} \Delta y_j = R_i, \quad i = 0, 1, \dots, n-1,\tag{24}$$

где через  $R_i$  обозначена сумма (22). Запись (24) есть СЛАУ относительно  $\Delta y_j$ ,  $j = 0, 1, \dots, n-1$ . При этом полагается, что предварительно вычислены значения  $y_i$ ,  $i = 0, 1, \dots, n$ , в виде (10), а затем значения  $R_i$ ,  $i = 0, 1, \dots, n-1$ , согласно (22), (18), (20). Решая СЛАУ (24) с верхней треугольной матрицей, получим в рекуррентной форме решение (21), добавив при этом условие  $\Delta y_n = \Delta y_{n-1}$ .  $\square$

**Замечание 2.** Формулы (21) дают значения погрешностей решения  $\Delta y_i$  с учетом знака (ср. [8], сс. 42, 122), а не по абсолютной величине вида  $|\Delta y_i| \approx \dots$  или верхних оценок  $|\Delta y_i| \leq \dots$  или верхних оценок по норме  $\|\Delta y\| \leq \dots$  или асимптотических оценок скорости сходимости к точному решению  $\|\Delta y\| = O(\dots)$ , как в большинстве работ ([3], с. 18–46 и др.). Поэтому после получения решения  $y_i$ ,  $i = 0, 1, \dots, n$ , в виде (10) и вычисления погрешностей решения  $\Delta y_i$ ,  $i = 0, 1, \dots, n$ , согласно (21) можно получить уточненное решение

$$\hat{y}_i = y_i + \Delta y_i, \quad i = 0, 1, \dots, n.\tag{25}$$

#### 4. Численные примеры

Изложенную методику численного решения СИУ обобщенным методом квадратур (1-м методом) проиллюстрируем следующими примерами.

**Пример 1.** Решается уравнение Абеля (4); точное решение  $y(s) = R - s$ ,  $0 \leq s \leq R$ ,  $R = 1$ , правая часть  $f(x) = \frac{R}{2}\sqrt{R^2 - x^2} - \frac{x^2}{2} \ln \frac{R + \sqrt{R^2 - x^2}}{x}$ ,  $f(0) = R^2/2$ . Сетки узлов по  $s$  и по  $x$ :  $s_j = jh$ ,  $x_j = s_j$ ,  $j = 0, 1, \dots, n$ , где  $n = 20$  — число шагов,  $h = \Delta s = \Delta x = R/n = 0,05$  — шаг дискретизации.

На рис. 1 приведены: точное решение  $y(s)$ , правая часть  $f(x)$ , приближенное решение  $y_i$  согласно (10), погрешности решения  $\Delta y_i$  в виде (21) и уточненное решение  $\hat{y}_i$ ,  $i = 0, 1, \dots, n$ , согласно (25).

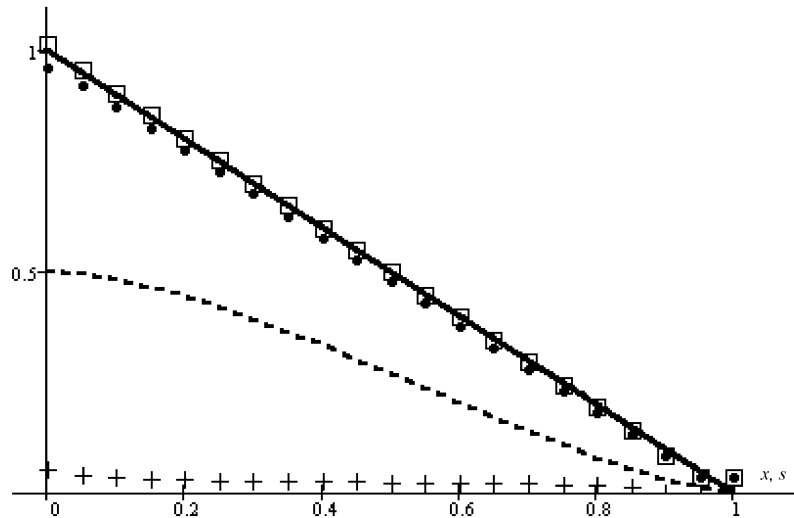


Рис. 1

————— — точное решение  $y(s)$ , - - - - - — правая часть  $f(x)$ ,

• — приближенное решение  $y_i$ , + — погрешность решения  $\Delta y_i$ , □ — уточненное решение  $\hat{y}_i$ .

**Пример 2.** Решается “усеченное” уравнение Абеля (из задачи дифракции рентгеновских лучей)

$$\int_a^b \frac{s}{\sqrt{s^2 - q^2}} J(s) ds = f(q), \quad a \leq q \leq b,$$

где  $a = 1$ ,  $b = 71$ . Точное решение  $J(s) = 1/s^3$ ,  $a \leq s \leq b$ , правая часть  $f(q) = \sqrt{b^2 - q^2}/(bq^2)$ . Сетки узлов по  $s$  и по  $q$ :  $s_j = a + jh$ ,  $q_j = s_j$ ,  $j = 0, 1, \dots, n$ , где  $n = 70$  — число шагов,  $h = \Delta s = \Delta q = (b - a)/n = 1$  — шаг дискретизации.

Характерная особенность примера 2 состоит в том, что диапазон изменения как  $J(s)$ , так и  $f(q)$  составляет несколько порядков.

На рис. 2 приведены: точное решение  $J(s)$ , функция  $2f(q)$ , приближенное решение  $J_i$  согласно (10), погрешности решения  $\Delta J_i$  в форме (21) и уточненное решение  $\hat{J}_i$ ,  $i = 0, 1, \dots, n$ , согласно (25).

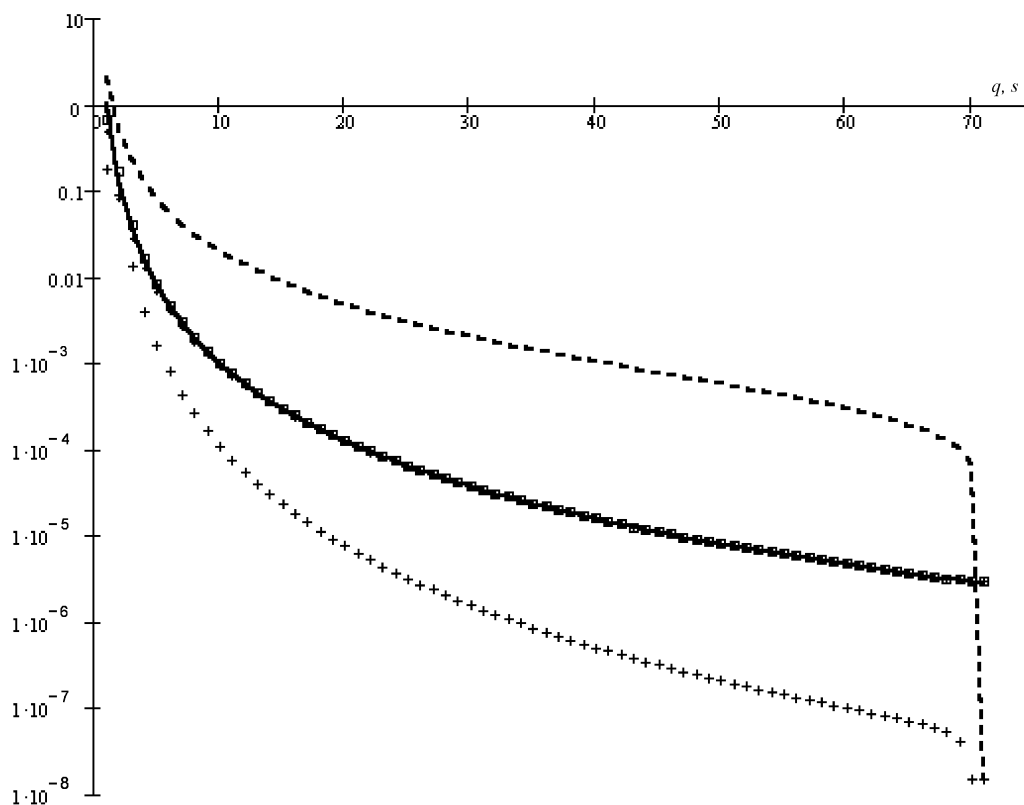


Рис. 2

— точное решение  $J(s)$ , - - - - - функция  $2f(q)$ ,  
 • — приближенное решение  $J_i$ , + — погрешность решения  $\Delta J_i$ , □ — уточненное решение  $\hat{J}_i$ .

## Литература

1. Иванов В.В. *Теория приближенных методов и ее применение к численному решению сингулярных интегральных уравнений*. — Киев: Наук. думка, 1968. — 287 с.
2. Белоцерковский С.М., Лифанов И.К. *Численные методы в сингулярных интегральных уравнениях*. — М.: Наука, 1985. — 256 с.
3. Габдулхаев Б.Г. *Прямые методы решения сингулярных интегральных уравнений первого рода*. — Казань: Изд-во Казанск. ун-та, 1994. — 288 с.
4. Бойков И.В., Кудряшова Н.Ю. *Приближенные методы решения сингулярных интегральных уравнений в исключительных случаях // Дифференц. уравн.* — 2000. — Т. 36. — № 9. — С. 1230–1237.
5. Самойлова Э.Н. *Сплайновые приближения решения сингулярного интегродифференциального уравнения // Изв. вузов. Математика.* — 2001. — № 11. — С. 35–45.
6. Рахимов И.К. *Проекционные методы решения сингулярного интегрального уравнения Теодорсена // Изв. вузов. Математика.* — 2002. — № 9. — С. 67–70.
7. Мухелишвили Н.И. *Сингулярные интегральные уравнения*. — 3-е изд-е. — М.: Наука, 1968. — 512 с.
8. Верлань А.Ф., Сизиков В.С. *Интегральные уравнения: методы, алгоритмы, программы*. — Киев: Наук. думка, 1986. — 544 с.
9. Крылов В.И., Шульгина Л.Т. *Справочная книга по численному интегрированию*. — М.: Наука, 1966. — 372 с.



10. Сизиков В.С. *Математические методы обработки результатов измерений*. – СПб.: Политехника, 2001. – 240 с.
11. Краснов М.Л. *Интегральные уравнения. Введение в теорию*. – М.: Наука, 1975. – 304 с.
12. Тихонов А.Н., Арсенин В.Я. *Методы решения некорректных задач*. – 3-е изд-е. – М.: Наука, 1986. – 288 с.
13. Бронштейн И.Н., Семендяев К.А. *Справочник по математике для инженеров и учащихся втузов*. – 13-е изд-е. – М.: Наука, 1986. – 544 с.

*Санкт-Петербургский государственный  
университет информационных технологий,  
механики и оптики*

*Поступила  
27.02.2003*